

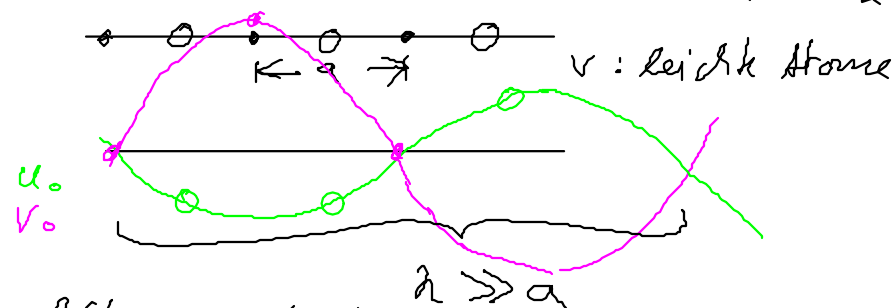
Differenzierbare lineare Wellen

1. Kasten:

(a) $\omega_+ : \frac{u_0}{v_0} \propto -\frac{m}{M}$

"optischer Zerstörer"

fürs m, M unterschiedl.



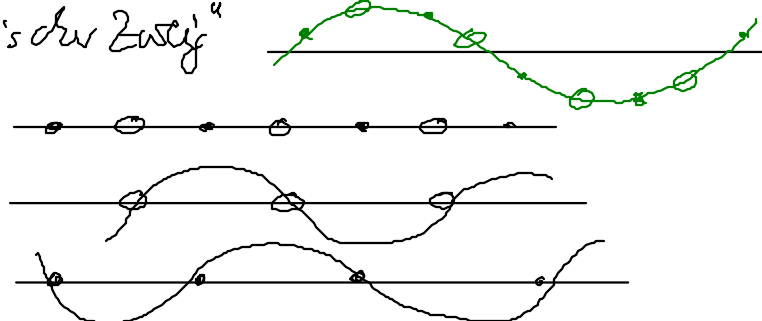
Zusatz: Kopplung an elektromagnet. Wellen

(b) $\omega_- : u_0 \approx v_0$ „akustischer Zerstörer“

2. $\kappa = \frac{\pi}{a}$

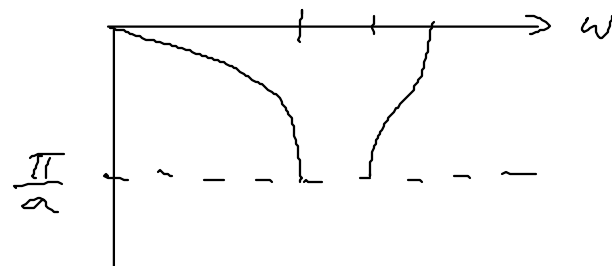
$$\omega_+ = \sqrt{\frac{2E}{m}} \quad u_0 = 0$$

$$\omega_- = \sqrt{\frac{2E}{M}} \quad v_0 = 0$$



Zustandsdichte

$$Z(\omega) d\omega = \frac{1}{\pi} \frac{1}{\frac{du}{d\omega}} d\omega$$



4.5 Schwingungen des dreidimensionalen Gitters

Übergang zum 3-dim Kristall qualitativ

1. Es gibt Dispersionsflächen $\omega_k = \omega(k)$ statt Dispersionskurven

2. Es gibt longitudinale und transversale Schwingungen

mit den obigen T_2 T_1 Polarisationsvektor $\vec{\Sigma}$: $T \begin{cases} \perp k \\ \parallel k \end{cases}$

Bem Unterscheidung vor T oder L nur in Richtung der Symmetrie (oder für isotropes Medium) - im sog. $\vec{\Sigma} \perp k$ und $\vec{\Sigma} \parallel k$

3. $\ddot{u} = 0$ (lange Wellen $n \gg a$) alle Elementarzellen schwingungsfähig

- $\omega_-(k=0)$ Verzgitter in Phase: akustischer Zweig
- $\omega_+(k=0)$ Untergitter in geg. Phase: optischer Zweig

(4.) Es gibt Schwingerische Zweige: 1 LA, 2 TA

für p Atome in der Elementarzelle: $3(p-1)$ optische Zweige
 $(p-1)LO, 2(p-1)TO$

insgesamt: 3 p unabhängige Schwingungen für jedes erlaubte k
 $\hat{=}$ 3 unabhängige Schwingungen pro Atom.

(5.) Verbindung zur klassischen ElastizitätsTheorie

dort: Gitterdeformation ändert sich nur sehr langsam im Vf zur Reichtwirk der atomaren Kräfte:

U^{harmon} eindeutig bestimmt durch $\alpha(r)$, genauer durch $\nabla \alpha(r)$

$$\ddot{r}_i - \ddot{q}_i \rightarrow (\ddot{r}_i - \ddot{q}_i) \nabla \alpha(r) / r = q_i \quad V: \text{Volumen der Elementarzelle}$$

$$U^{\text{Elast}} = \frac{1}{2V} \sum_{\alpha} \int d\tau \left(\frac{\partial}{\partial x_\alpha} u_\alpha(r) \right) \left(\frac{\partial}{\partial x_\alpha} u_\alpha(r) \right) E_{\alpha\beta\gamma\delta}$$

\hookrightarrow Elastizitätstensor

$$E_{\alpha\beta\gamma\delta} = -\frac{1}{2} \sum_{\alpha} q_\alpha D^{\alpha\beta}(r) q_\delta$$

im Allg. 21 verschiedene elasti. Konstanten, für kubische Kristalle:
 Nur 3 unabh. elasti. Konst.

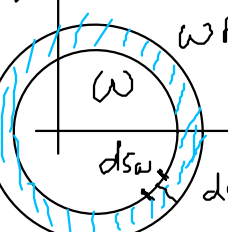
(6.) Zustandsdichte

ges.: ω_k , wie groß ist $Z(\omega)$ für den entsprechenden Zweig
 Volumen eines erlaubten k -Zustands: $\frac{(2\pi)^3}{V}$

Zustandsdichte im k -Raum: $\frac{V}{(2\pi)^3}$

$$Z(\omega) d\omega = \frac{1}{(2\pi)^3} \int_{\text{zul.}} d^3 k = \frac{1}{(2\pi)^3} \int_{\text{zul.}} d\omega d\epsilon_k$$

w \rightarrow k_x wegen $\nabla_k \omega \perp S_\omega$ gilt $| \nabla_k \omega | \cdot dk_x = d\omega$

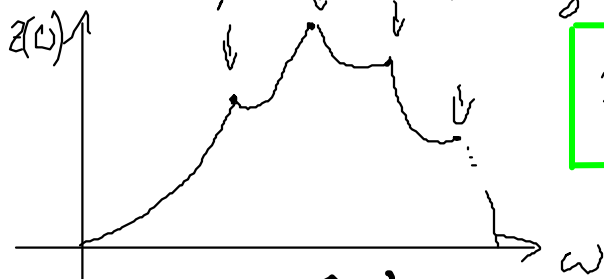


$$Z(\omega) d\omega = \frac{1}{(2\pi)^3} \int_{\text{zul.}} \frac{ds_k}{|\nabla_k \omega|} d\omega \quad \text{für einen Zweig } s$$

S_ω : Fläche konst Frequenz ω

$$|\nabla_k \omega| = \frac{\partial \omega}{\partial k} \Big|_k = v_g \quad \text{Gruppengeschwindigkeit}$$

„von Hooke-Singuläritäten“, wenn $\frac{\partial \omega}{\partial k} = 0$, für z.B. keine echten Singularitäten, $\omega(\omega) \rightarrow \infty$ sondern Minima, Maxima und Sattelpunkte, insgesamt für einen Kristall



$$Z(\omega) = \sum_{k=1}^{\infty} \int \frac{dS_k}{T D_k \omega}$$

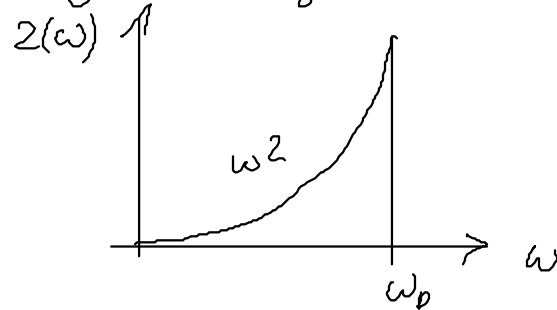
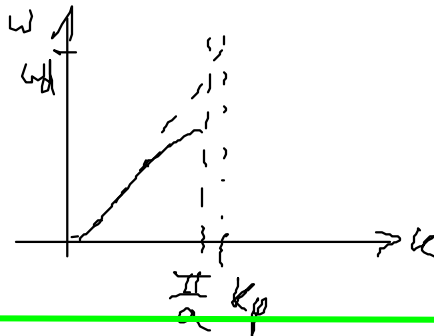
Dispersionsrelationen und Zustandsdichten

- experimentell meist aus Neutronenströmung, auch Röntgenstruktur (Synchrotronstrahlung)

7. Debye-Modell (des Schwingungsspektrums)

bei linearer $\omega(k) = c_s \cdot k$ (isotrop) für alle Zweige

und $\omega(k)$ für jeden Zweig eine Kugelschale mit Radius $|k|$



$$Z_s(\omega) = \frac{1}{(2\pi)^3} \int \frac{dS_k}{c_s} = \frac{1}{(2\pi)^3} \frac{4\pi^2 k^2}{c_s} = \frac{1}{2\pi^2} \frac{\omega^2}{c_s^3} \text{ für } \omega < \omega_0$$

- alle Zweige werden durch 3 akustische Zweige ($2T_A, 1L_A$) beschrieben
- sehr vereinfachtes Modell, aber für kleine Frequenzen gute Näherung

Faustregel $\omega_L(k) \approx 2\omega_T(k)$ für $k \rightarrow 0$

Typische Zahlen (Beisp. Al)

- fundamentaler z.B. Gitterwinkel $\gamma = \frac{2\pi}{a} = 2\pi^{-1} = 2 \cdot 10^{10} \text{ rad}^{-1}$
- Schallgeschwindigkeit $c_L \approx 5 \cdot 10^3 \frac{\text{m}}{\text{s}}$, $c_L \approx 2 c_T$
- Debye-Frequenz $\omega_D \approx \frac{\pi}{a} \cdot c_L \approx 5 \cdot 10^{13} \text{ s}^{-1}$, $v_D \approx 10^{13} \text{ s}^{-1}$
- ν^{-1} : „typische Periode einer Gitterschwingung“

4.6 Quantisierung der Gitterschwingungen

BG für lineare einatomige Kerne $\ddot{M}u = -f(2\alpha_n - \chi_{n+1} - \chi_{n-1})$

Lösung anders schreiben:

$$u_n = u_0 e^{i(\omega_n - \omega)t} = b_n(H) e^{i\omega_n t} \quad \text{mit } b_n(H) = u_0(\epsilon) e^{-i\omega t}$$

Einsetzen in BG:

$$b_n(H) + \omega^2(u) b_n(H) = 0 \quad \text{mit } \omega^2(u) = 4 \frac{f}{\pi^2} \sin^2\left(\frac{\epsilon q}{2}\right)$$

- für ϵ des erlaubten : unabhängige harmonische Oszillatoren entspr. 3-dim Kristall mit N Atomen: $3N$ unabh. harm. Osz.
- Quantenmechanische Oszillatoren mit $\omega_s(\epsilon)$ hat Energieniveaus $E_{ns} = (n_{es} + \frac{1}{2}) \hbar \omega_s(\epsilon)$
- Zustand des Krs. falls wird vollständig beschrieben (herzgl. Schwingungen) durch Angabe der Quantenzahlen n_{es} der einzelnen Normalschwingungen $E = \sum_{es} (n_{es} + \frac{1}{2}) \hbar \omega_s(\epsilon)$
statt ϵ Normal Schwingung (ϵ_s) ist um weiter angegebener Zustand "aus Phononen" mit ϵ im Zwei sind angegeben"

Analogie: Photon Energie $\hbar \omega$ Impuls $p = \hbar k$
Phonon Energie $\hbar \omega_s(\epsilon)$ Quasimoment p = $\hbar \vec{k}$ (Einfallsimpuls)
Impulserhaltung nur bis auf $\hbar \omega$. Gittervektor

4.7 Struktur aus zeit. strukturlichen Strukturen

Es war: $A_B \sim e^{-i\omega t} \int_B F e^{-i\vec{k} \cdot \vec{r}(H)} e^{-i\vec{k} \cdot \vec{r}(t)}$ $\vec{r}_i(t) = \vec{R}_i + \vec{u}_i(t)$

1 Atom pro Elementarzelle: $A_B \sim \sum_i e^{-i\vec{k} \cdot \vec{R}_i} e^{-i\vec{k} \cdot \vec{u}_i(H)} e^{-i\omega t}$

für kleine Auslenkung: $A_B \sim \sum_i e^{-i\vec{k} \cdot \vec{R}_i} e^{-i\vec{k} \cdot \vec{u}_i(H)} (1 - i\vec{k} \cdot \vec{u}_i(H) - \dots) e^{-i\omega t}$

wieder $\vec{u}_i(t) = \sum_j e^{i(\vec{k}_j \cdot \vec{R}_i - \omega_j t)}$

Neben $A_B \text{ elast.} \sim \sum_i f_i e^{-i\vec{k} \cdot \vec{R}_i}$ drittmeinf. Struktur auf $A_B \text{ und.} \sim \sum_i f_i e^{-i(\vec{k} \pm \vec{q}) \cdot \vec{R}_i} f_{\vec{q}} e^{-i(\omega \pm \omega_q) t}$